

## KEBAN SKARN OLUŞUMU, KD ELAZIĞ BÖLGESİ

### THE KEBAN SKARN FORMATION, NW ELAZIĞ PROVINCE

**Ayten ÇALIK ve Sinan ÖNGEN**

İ. Ü. Mühendislik Fakültesi Jeoloji Mühendisliği Bölümü, 34850 Avcılar-İSTANBUL

**ÖZ:** Keban ilçesi (Elazığ ili) çevresinde yer alan çalışma alanında, başlıca düşük basınç ve sıcaklık koşullarında metamorfizma olmuş, kalkşist ve serosit klorit sist üyelerinin oluşturduğu Keban metamorfik serisi ile bu metamorfik temeli kesen Üst Kretase – Paleosen yaşlı, alkali özellikteki mağmatik kayaçlar yer alır. Ayrıca, yaygın bir skarn oluşumu da gözlenir. Bu çalışmada Keban mağmatik birimi (KMB) olarak adlandırılan alkali karakterli mağmanın yerleşimi, soğuması ve kontak metamorfik etkisi ele alınmaktadır. Fırat nehrinin kuzeyinde yer alan porfirik sokulmaların Sarılımağara granat siyenit porfirinin kesmiş olduğu kalkşist birimi ile kontağında, bu çalışmada Sarılımağara skarnı olarak isimlendirilmiş, iyi gelişmiş bir skarn zonu yer almaktadır.

Skarn, başlıca endoskarn ve eksoskarn oluşumları ile bimetasomatik karakterdedir. Başlıca skarn mineralleri, klinopiroksen (diopsit – hedenberjít), granat (grossular - andradit), vezüviyanit, volastonit, kalsit ve epidot'tur.

**Anahtar sözcükler:** Skarn, granatlı siyenit porfir, alkali mağmatizma, Keban bölgesi.

**ABSTRACT:** In the East of Turkey, in the Keban region, alkaline intrusive rocks were emplaced into low grade Keban metamorphic series during the Upper Cretaceous – Palaeocene period. Calcareous schists and sericite – chlorite schist are the main metamorphic rock types. The emplacement and cooling of these alkaline intrusive rocks, which are named the Keban magmatic unit in this study, are accompanied firstly by contact metamorphism and later by metasomatism in the wall rock. Therefore, a skarn zone is well developed between the metamorphic unit and the Keban magmatic unit.

The Sarılımağara garnet syenite porphyry is one of the alkaline intrusive rocks outcrop on the northern bank of the Euphrates River. A well – developed skarn zone, which is named the Sarılımağara skarn formation, also occurs between the calcshist and the Sarılımağara garnet syenite porphyry.

The skarn mainly consists of the formation of exoskarn and endoskarn and as a result shows a bimetasomatic evolution. The main skarn minerals are clinopyroxene (diopsite – hedenbergite), garnet (grossular – andradite), vesuvianite, wollastonite, calcite and epidote.

**Key Words:** Skarn, garnet syenite porphyry, alkaline magmatism, and Keban region.

### GİRİŞ

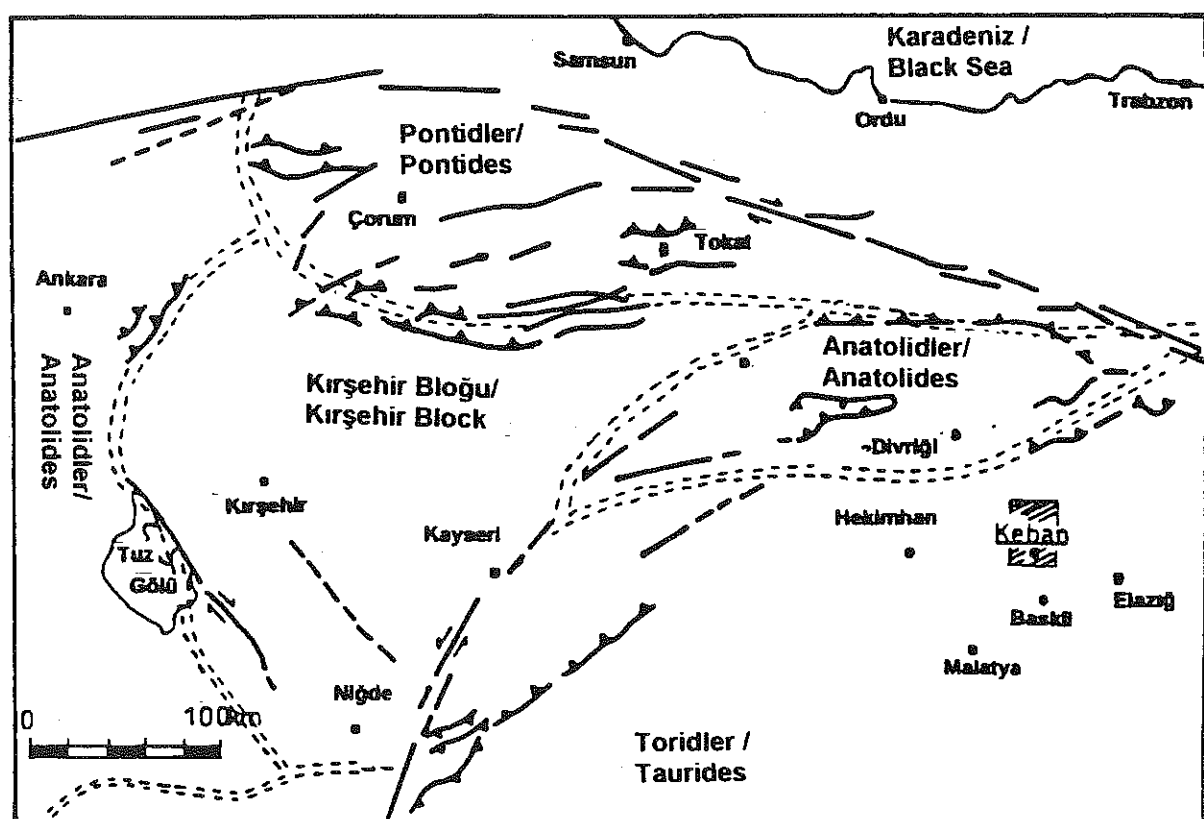
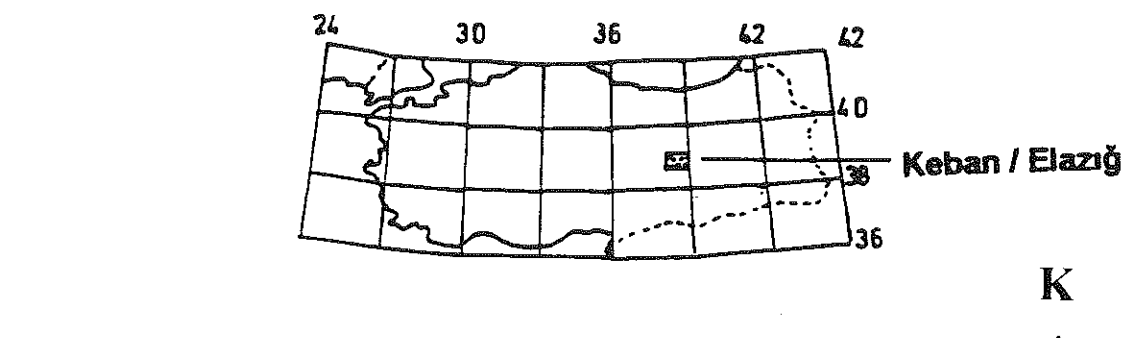
Çalışma alanı, Doğu Anadolu bölgesinde – Elazığ ilinin 45 km kuzeybatısındaki Keban ilçesi sınırları içinde ve Malatya K41 – a3 paftasında yer alır. Keban'ın eskiden beri bilinen metalojenik bir provens olmasının yanı sıra, ilçenin kuzeydoğusunda yer alan Keban barajının mühendislik sorunları nedeniyle bölge, pek çok yerli ve yabancı araştırmacının çalışma konusu olmuştur. Bölgede tespit edilebilmiş en eski çalışma Fischbach'a (1877) aittir. Daha sonra Pilz ve Ceccaty (1936), Maucher (1937), Olsner (1938), Tolun (1950), Gawlik (1958), Kumbasar (1964), Zizerman (1969), Köksoy (1972), Kipman (1976 a – b), Çalık (1986), Ya-

zıcı (1986), Hanelçi (1991), Dirim (1991), ve Çelebi (1997) tarafından yapılmış çalışmaların çoğu yine yöredeki maden yatakları oluşumuna yönelikdir. Ayrıca Keban bölgесine yakın bir bölge olan Baskıl (Elazığ) çevresinin jeolojisi ve Baskıl mağmatiklerinin petrolojisini konu alan çalışma da (Asutay, 1988) bölgede yapılmış çalışmalar arasında yer almaktadır.

Torid tektonik kuşağında, Doğu Toroslarda (Ketin, 1966; Altınlı 1963) bulunan çalışma alanında (Şekil 1) başlıca Permo – Karbonifer yaşlı (Kipman, 1976 a – b) Keban metamorfikleri, bunları kesen alkali siyenit – siyenit bileşimli sığ yerlesimli porfirik sokulmalar ile bunları örten Üst Oligosen - Alt Miyosen yaşlı (Çalık,

1998) Sarılımağara kireçtaşı birimi ve alüvyon taraçaları yüzeylenir. (Şekil 2)

rekristalize kireçtaşı, kalkşist ve serisit klorit şistlerde olistolit olarak bulunur.



Şekil 1. Keban Bölgesinin Bulduru Haritası (Bingöl, 1989).  
Figure 1. Location map of the Keban region (Bingöl, 1989).

Keban metamorfik serisi, Jura – Alt Kretase yaşılı (Kipman, 1976 a - b) yeşil şist fasiyesine ait kalkşist ve klorit şistlerden oluşur. Çalışma alanının en yaygın yüzeylenen üyesi olan kalkşist, yatay ve düşey geçişli olarak tabakalı kristalize kireçtaşı, gözenekli kireçtaşı, dolomitik kireçtaşı, laminalı kireçtaşı, rekristalize kireçtaşı seviyeleri içerir. Kalkşist ile serisit klorit şist dokanlığı geçişlidir. Keban mermeri olarak adlandırılan masif

Keban metamorfikleri, aynı mağmatik seride ait muhtemelen derinde bulunan bir batolitten farklı fazlarda sokulum yapmış, alkali özellikte, silisce doygun, silyenitik bileşimli Keban mağmatikleri tarafından sil, dayk ve bunların geçiş türleri tarafından kesilir (Çahk, 1998). Keban mağmatik biriminin K/Ar yöntemiyle yapılmış radyometrik yaşı tayininden  $76+2.5$  ve  $78.5+2.5$  my tespit edilmiştir (Yazgan, 1983).

Keban mağmatik kayaçlarının karbonatlı çevre kayacı ile dokanaklarında geniş bir kontakt metamorfizma zonu gelişmiştir. Bu zonda kontakt metasomatik mineraler ile iri kristalli mermerler yer alır. Dokanakta Si, Al, Fe, Mg gibi elementlerin metasomatik göçü, tipik skarn zonunu oluşturmuştur.

Bu çalışmanın amacı; Sarılımağara tepe güneydoğu eteğinde yüzeylenmiş porfirik sokulumlardan, granatlı siyenit porfir biriminin kontağında gelişmiş Sarılımağara skarn oluşumunun petrolojik incelemesidir.

Sahada, 1/5000 ölçekli harita alımı ve sistematik örnek derlemesinden sonra laboratuarda petrografik gözlemler ve modal analizler yapılmış, seçilmiş örneklerden esas element ve iz element analizleri İ.Ü Müh. Fak. Jeoloji Müh. Böl. Mineraloji ve Jeokimya laboratuuarında ve Acme Analitik Laboratuuarında (Kanada) yapılmıştır. Elektron prob analizleri Ecole des Mines de Paris (Fransa)'de gerçekleştirılmıştır.

## KEBAN SKARN OLUŞUMU

Keban mağmatik biriminin metamorfik temele yerleşmesi ve soğumasına, öncelikle kontak metamorfizma ve daha sonra metasomatizma tarafından eşlik edilmiştir. Böylece, Keban metamorfik serisi ile Keban mağmatik birimi dokanağında bir skarn zonu gelişmiştir. Bimetasomatik skarn içinde granat, klinopiroksen, vezüviyan, volastonit, kalsit, epidot, kuvars, feldspat gözlenmiştir.

Ayrıca Keban derenin kuzey ve güneyinde pirit, kalkopirit eşliğinde skarn oluşumlu Au, Cu, Mo, W cevherleşmesi yer alır (Hanelçi ve diğ. 1989).

### Sarılımağara granatlı siyenit porfir

Fırat nehrinin kuzeyinde Sarılımağara tepe güneydoğu eteklerinde yüzeylenmiş olan birim (Şekil 2), sahada pembe - kahve renkli olup, gözle iri pembe - beyaz feldspat fenokristaller (1.3-2 cm) ile koyu renkli mineraler (0.2-0.5 cm) seçilmekte ve porfirik dokusu tanımlanmaktadır. Üç yönde kayaç dilinimi gelişmiş ve yer yer sık aralıklı eklem takımları ile de kesilmiştir. Bozusma rengi kıremıt kırmızısıdır.

Alkali feldspat siyenit ve siyenit porfir geçişleri sunan birim, yaygın olarak içeriği granat minerali nedeniyle (modal % 1.1 -15) granatlı siyenit porfir olarak adlandırılmıştır. Kütlenin kuzey kesiminde granatlı siyenit porfiri özelliği daha hakim iken, güneye doğru alkali feldspat miktarının artmasına bağlı olarak alkali feldspat siyenit porfiri özelliği kazanır.

Mikroskopta, iri ve öz şekilli alkali feldspat (ortoklas, sanidin) kristallerinin bol olduğu saptanmıştır

(modal % 21.7 – 89.6). Üniversal tabla yardımıyla ( $8^{\circ}$ - $12^{\circ}$  arasında değişen sönme açıları ile) saptanan oligoklas – albit bileşimli ve polisentetik ikizlenmeli plajiklas kristalleri, daha küçük boyutlarda ve daha az miktarda bulunur. Öz şekilsiz kuvars kristallerine çok az oranda rastlanılmıştır.

Andradit bileşimli granat, kızılımsı kahverengi ile kahverengi arasında değişen renklerde, zonlu öz şekilli kristallerinin yanı sıra yarı öz şekilli ve öz şekilsiz kristaller ile feldspat mineralinden sonra örneklerde en bol bulunan mineraldir. Mikroskopik inceleme sonuçlarının yanı sıra Tablo 1'de verilmiş olan elektro prob analiz değerlerinden granat cinsi, melanit (Ti içeren andradit) olarak tespit edilmiştir. Nefelin siyenit, alkali siyenit veya volkanik eş değerleri alkali mağmatik kayaçlarda bulunabilen (Deer ve diğ. 1992) melanit, Keban mağmatiklerinde ilk olarak Çalık (1998) çalışmasında tespit edilmiştir.

Diger bir mafik mineral olan yeşil renkli klinopiroksen kristalleri ve granat kristalleri çoğunlukla yan nadır. Melanit ile Na bakımından zengin piroksen birlikte alkalen mağmatik kayaçlarda olağandır (Deer ve diğ. 1992)

Aksesuar mineraler mızrak şekilli sfen, apatit, zirkon, alanit ve de çok az miktarda fluorit olarak saptanmıştır. Kalsit, ikincil olarak sık olarak izlenir. Opak mineralerden ilmenit en çok gözlenir. Ikincil mineraler kalsit, serisit, muskovit, kil mineraleri ve Fe oksit den olusur.

Daha ufak kristalli ara madde, hipidiomorfik granüler doku özelliği gösterir. Kütlenin güneyine doğru tane boyutu daha irileşerek ve nispeten eş taneli doku özelliği önem kazanır.

Sarılımağara granatlı siyenit porfiri, alkali, silisce doygun bir magma serisini oluşturan Keban mağmatik birimine aittir. Tablo 2'de izlendiği gibi jeokimyasal açıdan alkali, silisce doygun ve  $A/CNK < 1$  (Clarke, 1992) değerleri ile metaluminyumlu özellik gösterir. Harker değişim diyagramlarında (Şekil 3) izlenebildiği gibi  $SiO_2$  yüzde değerlerine karşı  $FeO$ ,  $MgO$ , ve  $CaO$  değerlerinde bir azalma eğilimi izlenir.

Örneklerde yaygın olarak izlenen sfen'in kaynak oluşturduğu  $TiO_2$  değerleri birbirine yakın değerler gösterir. En düşük  $TiO_2$  değerine sahip (0.07 w %) N 323 örneğinde, sfen kristalini gözlenmemiştir.

Yüksek Ba değerleri bu tür K-feldspati bol içeren kayaçlar için doğal bir orandadır. Ayrıca yüksek Zr değerleri mikroskopta izlenen bol zirkon kristallerinin bulunusunu kanıtlamıştır. İki örnekteki yüksek Sr değeri karbonat özümlemesini işaret edebilir.



Şekil 2. Keban Bölgesinin Jeoloji Haritası (Çalık, 1989).

Figure 2. Geological Map of the Keban region (Çalık, 1989).

### Sarılımağara skarn gelişimi

Granatlı siyenit porfir Fırat nehrinin kuzeyinde yüzlek vermektedir; sınırları doğuda Karamağara dere, kuzeyde fluorit cevher alanı, kuzeybatıda Sarılımağara tepe olarak gözlenmektedir.

Kütlenin etrafını ana bileşeni granat + piroksen olan bir eksoskarn çevrelemiştir. Eksoskarna eşlik eden endoskarn bileşenleri ise klinopiroksen (diyopsit – hedderberjít), epidot ve kalsitten oluşur. Eksoskarn zonun dışında Keban metamorfiklerinin kalkıştır üyesi devam eder.

ACIKLAMALAR /EXPLANATIONS

KUVATERNER /  
QUATERNARY

TERSİYER /  
TERTIARY

Alt Miyosen-  
Üst Oligosen  
Lower Miocene-  
Upper Oligocene

KRETASE /  
CRETACEOUS

Üst Kretase-  
Paleosen  
Upper Cretaceous-  
Paleocene

Keban  
migmatikleri/  
Keban  
magmatics

Qal  Alüvyon/  
Alluvium

Qt  Yamaç Molozu/  
Slope Debris

Tsk  Sarılımağara  
Kireçtaşı/  
Sarılımağara  
Limestone

Ükkm  Trakit porfir/  
Trachyte porphyry

Ükss  Sarılımağara skarn

Ükkm  Granatlı siyenit porfir/  
Sarılımağara  
Garnet syenite porphyry

PERMOKARBONİFER  
PERMO-CARBONIFEROUS

Keban  
Metamorfikleri/  
Keban  
Metamorphics

Pdl  Dolomitik Kireçtaşı/  
Dolomitic limestone

Ppl  Gözenekli kireçtaşı/  
Porous Limestone

Pbl  Tabaka kireçtaşı/  
Bedded Limestone

Pes'  Kalksişt/Calc-schist

Pkm  Keban Mermeri/  
Keban marble



Olasılık antiklinal  
Eksen ve dalımı/  
Fay / fault

Possible antiklinal  
axis and plunge



Olasılık formasyon  
sınırları/  
Formation boundary

Possible formation  
boundary  
Formation boundary



Tabaka doğrultu ve  
Eğimi /  
Strike and dip of  
bedding

Strike and dip of  
bedding

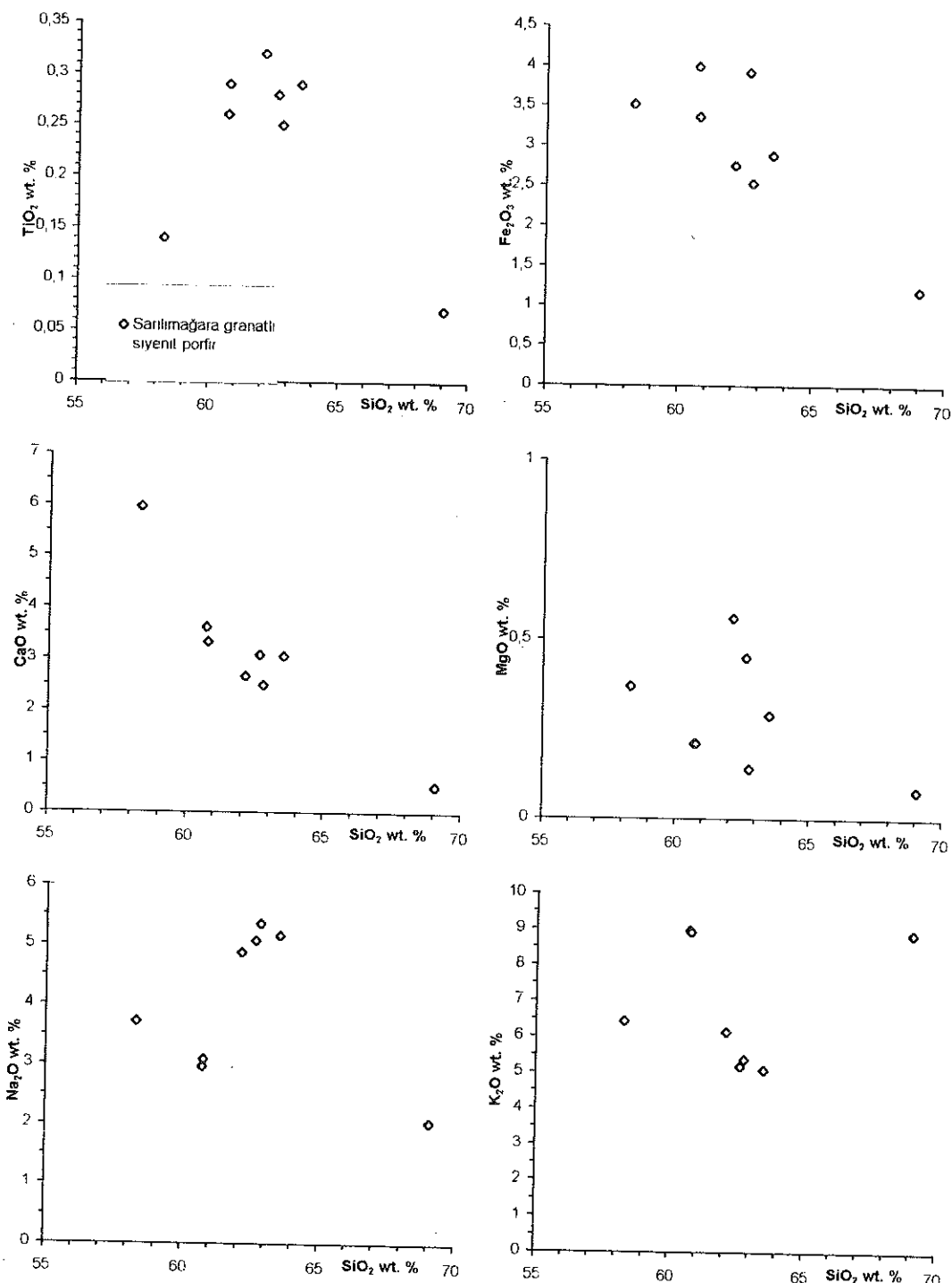


Yol / Road



Olası fay/ Possible  
fault

(Şekil 2'nin açıklamaları)



Şekil 3. Sarılımağara granathı syenit porfiriye ait majör element Harker değişim diyagramları.

Figure 3. The major element -  $\text{SiO}_2$  variation diagrams of the rock samples of Sarılımağara garnet syenite porphyry.

Granatlı Siyenit Porfir	Endoskarn	Granat Skarn	Eksoskarn					Kalksist
			kpr* + vezüviyan + granat skarn	Volastonit + hedenberjit + granat skarn	Epidot + diyopsit skarn	Volastonit + diyopsit + granat skarn	Vezüviyan + granat skarn	
Alk.feld., Plj granat, kpr Sfen, apatit, Allanit, zirkon, kuvars	Alk.feld., Plj* Granat, kpr, Sfen, apatit, Allanit, epidot, diyopsit, hedenberjit	Granat, kpr kalsit	Granat, Vezüviyan, kpr*, feld., Kalsit, opak mineral	Kalsit, Granat, Hedenberjit, Volastonit, epidot	Diyopsit, Vezüviyan, Kalsit, Diyopsit, Volastonit, epidot, feldspat	Granat, Kalsit, Diyopsit, Volastonit, Feldspat, kuvars	Granat, Kalsit, Hedenberjit Vezüviyan	Kalsit, Kuvars, Serisit, Feldspat, Granat,

\* kpr-Klinopiroksen, Plj- Plajiolas

Tablo 3. Granat'a ait elektron mikroprob analiz değerleri Pyr - Pirop; Alm - Almadin; Spe - Spessartin; Gro - Grossular.  
 Table 3. Electron microprobe analyses data for garnet Pyr - Pyrope; Alm - Almandine; Spe - Spessartine; Gro - Grosullar.

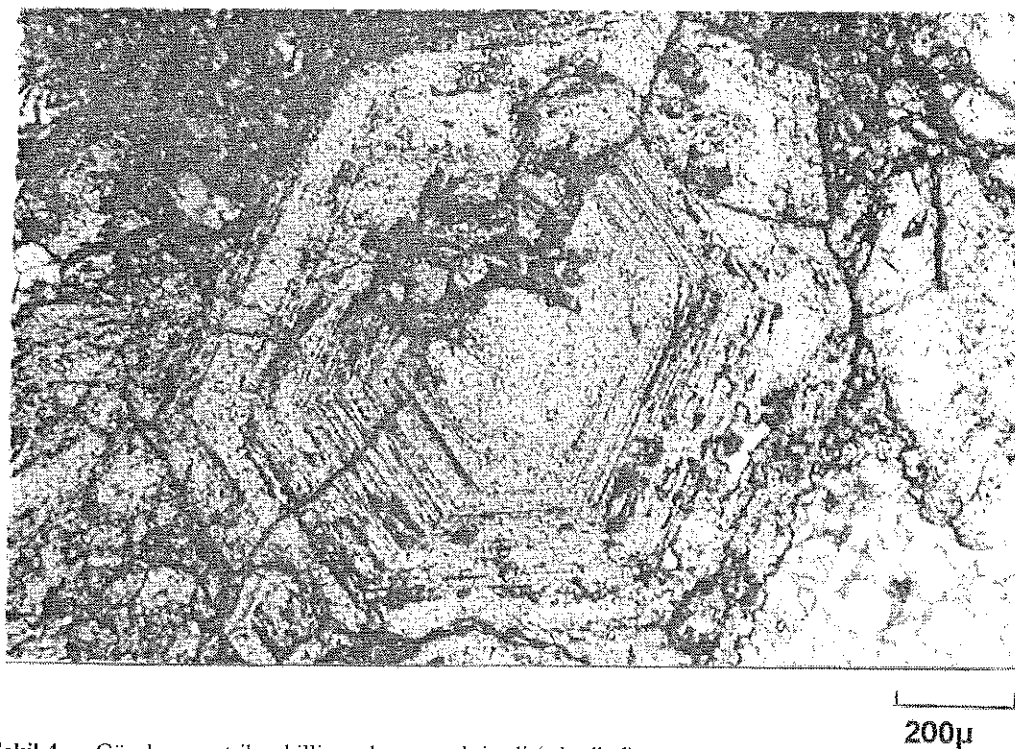
Örnek	N 47							
	Point 23	Point 24	Point 25	point 22	point 20	point 61	point 62	point 65
SiO <sub>2</sub>	38.53	38.43	38.60	38.77	39.43	37.85	38.34	36.29
TiO <sub>2</sub>	0.12	1.05	0.96	0.12	0.08	0.09	0.17	2.01
Al <sub>2</sub> O <sub>3</sub>	13.9	13.91	14.1	14.35	17.39	15.58	14.12	8.77
FeO	9.81	8.44	10.39	9.33	4.05	10.29	11.91	17.94
MnO	0.91	0.94	0.46	0.98	0.89	1	1.01	0.76
MgO	0.24	0.21	0.26	0.54	0.37	0.29	0.37	0.41
CaO	33.25	32.84	32.72	34.05	34.77	35.28	35.19	34.02
K <sub>2</sub> O	0.00	0.01	0.78	0.24	0.16	0.01	0.01	0.00
Na <sub>2</sub> O	0.00	0.02	0.00	0.76	0.00	0.01	0.01	0.00
Y	0.00	0.00	0.00	0.00	0.00	0.00	0.00	0.00
Ba	0.00	0.00	0.66	0.03	0.05	0.06	0.07	0.00
La	0.1	0.00	0.00	0.08	0.06	0.00	0.00	0.03
Ce	0.05	0.00	0.00	0.00	0.01	0.13	0.04	0.00
Sum	96.92	95.86	98.93	99.26	97.28	100.6	101.24	100.23
Pyr	0.94	0.85	1.01	2.00	1.41	1.08	1.39	1.59
Alm	1.16	0.68	3.00	0.00	0.00	0.46	0.26	0.29
Spe	2.05	2.16	1.01	2.07	1.93	2.14	2.16	1.69
Gro	64.14	65.18	62.35	66.24	83.31	63.89	58.03	31.42
And	31.70	31.13	32.62	29.69	13.34	32.42	38.15	65.01

Çalışma alanında tespit edilmiş başlıca skarnmineralleri; granat (grossular-andradit), klinopiroksen (diyopsit-hedenberjit), vezüviyan (İdokraz), volastonit olup bunlara sonradan epidot, kuvars, fluorit, malakit, hematit oluşumu eşlik eder.

#### Endoskarn

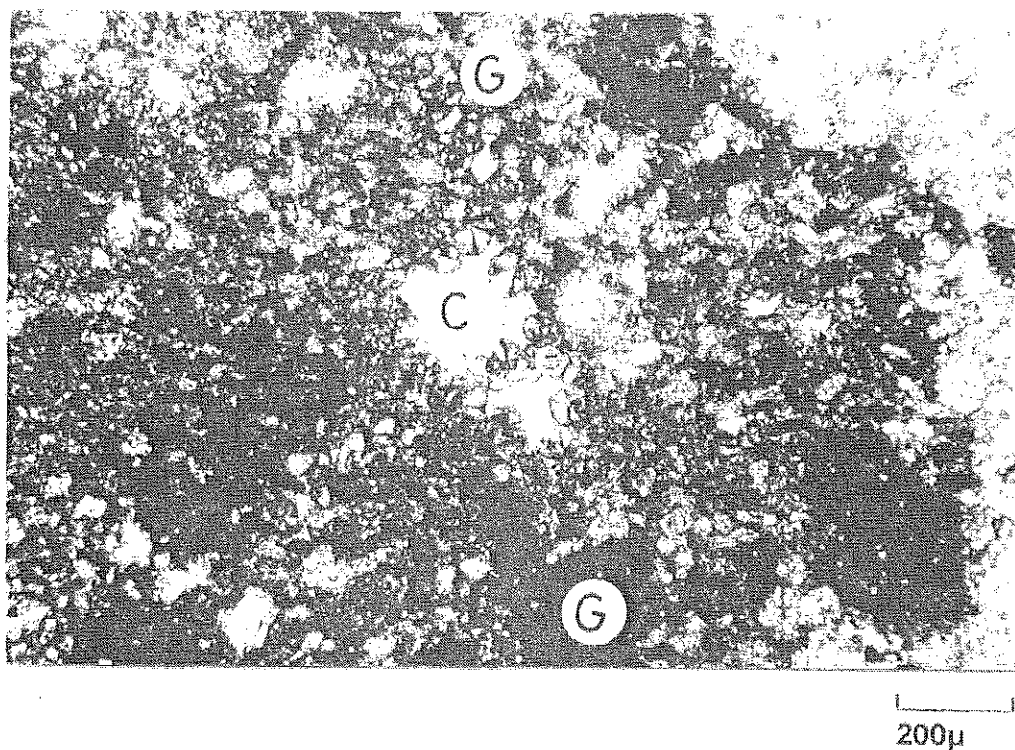
Granatlı siyenit porfir ile kalksist arasındaki dokanak boyunca siyenit porfir içerisinde piroksence zen-

gin bir zon gelişmiştir. Alkali feldspat + plajiolas + granat ana mineralojik bileşimli, mafik mineral olarak klinopiroksen ve de tali bileşenler olarak sfen, apatit, allanit'in eşlik etiği granatlı siyenit porfir biriminin endoskarn gelişimi izlendiği örneklerinde bileşime, epidot, diyopsit ve hedenberjit katılır. Mineral bileşimindeki farklılıklara rağmen, endoskarn içinde relikt porfirik doku korunmuştur. Epidot, öz şekilsiz ve yarı öz şekilli kristalleri ile agregatlar halinde orijinal kayaçta yer alan



Şekil 4. Güzel geometrik şekilli, zonlu granat kristali (tek nikol).

Figure 4. Gamet shows zoning in a beautiful geometric shape (in light plane).



Şekil 5. Sektör ikizli anizotrop granat kristalleri ve bunların çevresinde izotrop granat kristalleri (çapraz nikol) C=kalsit, G=granat.

Figure 5. Sector twinned anisotropic garnet is surrounded by isotropic garnet (crossed nicols) C=calcite, g=garnet.

feldspatlarda dissemine bir şekilde yer alırken, yeşilimsi hedenberjit kristalleri ile rensiz diyopsit kristalleri de epidota eşlik eder.

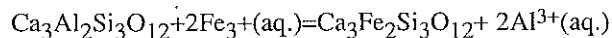
Özümleme ile birlikte feldspatların kalsik mineralere (özellikle epidota) dönüşmesi ve hedenberjit – diyopsit piroksenin bulunduğu karakteristiktedir.

### Eksoskarn

Sahada, koyu kahve - yeşilimsi renkli, kompakt, içinde öz şekilli, yarı öz şekilli, iri (0.2-0.5 cm) yeşilimsi - kahve renklerindeki granat kristalleri ve yer yer düzensiz kalsit seviyeleri içeren bir zon görünümündedir.

Eksoskarn başlıca granat skarn ve klinopiroksen + granat halinde gözlenmekle birlikte granat skarn, klinopiroksen + vezüviyan +granat skarn, epidot + diyopsit skarn, volastonit + diyopsit + granat skarn ve vezüviyan + granat skarn parajenezlerinde izlenmiştir.

**Granat Skarn:** Öz şekilli ve büyümeye zonları gösteren Granat, bu kayaçta esas minerallerdir. Granat içinde yer yer ufak kalsitlere rastlanılmıştır (Şekil 4). Elektron mikroprob analizlerinden de (Tablo 3) anlaşılacağı gibi grossular – andradit katı karışım serisinden oluşan ortası kahve dışı açık renkli /renksiz granatlar diffüzyon ve infiltrasyon metasomatizmasından etkilenmiştir. Kerrick'e (1977) göre, bir sulu faz ile dengedeki granatin bileşimi aşağıdaki değişim reaksiyonu ile kontrol edilir.



$$K = (\text{a}_{\text{Ca}_3\text{Fe}_2\text{Si}_3\text{O}_{12}}) (\text{a}_{\text{Al}^{3+}})^2 / (\text{a}_{\text{Ca}_3\text{Al}_2\text{Si}_3\text{O}_{12}}) (\text{a}_{\text{Fe}^{3+}})^2$$

Mono mineralili granat skarn, sabit P ve T'da skarnda hareketsiz gözenek akışkanlarında Si, Al, ve Fe<sup>3+</sup>'ün difüzyonunun bir sonucu olarak mermerin yeri alması ile oluşur. Bu nedenle granatin bileşimi, sulu fazda ( $\text{aAl}^{3+}$ )<sup>2</sup>/ $(\text{aFe}^{3+})^2$  aktivite oranının bir fonksiyonudur.

Masif granat'da, küçük öz şekilli ve yarı öz şekilli granat kristalleri yanında yama şeklinde piroksen ve kalsit kapanımları gözlenmiştir.

Öz şekilli iri granat ve masif şekilde izlenebilen granat kristallerine ilaveten sektör ikitlenme gösteren küçük anizotrop granat kristalleri de izlenir (Şekil 5). Bu anizotrop granat kristalleri muhtemelen masif granat çatıtlarında dolaşan geç çözeltilerden hızla kristallemiş ve çatlakta sonradan kalsit birikimi gerçekleşmiştir.

**Klinopiroksen,** granoblastik kalsit kristalleri ile birlikte küçük kristaller veya iri kristaller halinde yer alır. Granat kristallerinde kapanım kristal olarak da bu-

lunan piroksen, Tablo 4'de verilmiş elektro prob analiz değerlerinde izlendiği gibi Diyopsit-Hedenberjit serisine aittir.

**Tablo 4.** Piroksen'e ait elektron mikroprob analiz değerleri.

**Table 4.** Electron microprobe analyses data for pyroxene.

Örnek	N 47		
	point 26	point 18	point 21
SiO <sub>2</sub>	49.45	52.93	52.10
TiO <sub>2</sub>	0.1	0.02	0.02
Al <sub>2</sub> O <sub>3</sub>	2.50	1.45	2.88
FeO	5.89	2.98	3.54
MnO	0.86	0.88	0.92
MgO	14.78	14.07	13.38
CaO	24.82	24.62	24.56
K <sub>2</sub> O	0.00	0.00	0.00
Na <sub>2</sub> O	0.26	0.11	0.08
Sum	99.19	97.12	97.51

**Klinopiroksen + Vezüviyan + granat skarn:** Granat, vezüviyan, klinopiroksen, feldspat, kalsit ve opak mineralden oluşan mineralojik bileşime sahiptir.

Granat bu skarnda da ana minerali oluşturur. Diğer skarn örneklerinde izlenen benzer özelliklerini gösterir.

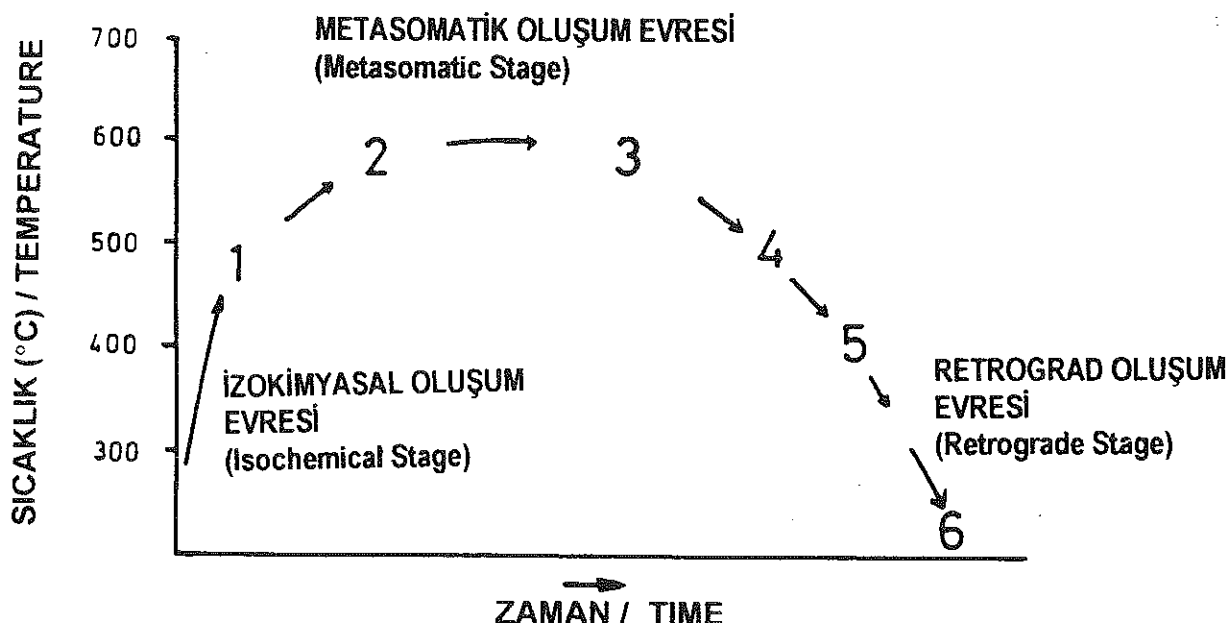
**Vezüviyan,** iri kristaller ile granat mineralinden sonra ikinci bollukta izlenen mineraldir. Sarımsı renkli, iri kristaller şeklinde bulunur. Zonlu kristalleri de örneklerde izlenebilmektedir. Anormal koyu mavi girişim renkleri gösterirler.

Orta büyüklükte veya daha küçük öz şekilli veya yarı öz şekilli kristal şeklinde izlenebilen *piroksen* kristalleri, vezüviyan ve granat kristalleri arasında izlenir. Feldspat, klinopiroksen ve granat kristallerinin arasındaki boşlukları doldurur.

**Volastonit+hedenberjit+granat skarn:** Mineralojik bileşimi, kalsit, granat, hedenberjit volastonit ve epidot oluşturur.

**Granat,** kalsit minerali ile birlikte ana minerali oluştururken öz şekilli kristallerinin yanı sıra masif bir şekilde izlenir. Ayrıca, küçük epidot kristallerinin çizgisel bir dizilim sunan kapanımları ve kalsit kristallerinin yama şeklinde kapanımlarının izlenebildiği poikiloblastik kristalleri de yaygındır.

Yeşilimsi renkli *hedenberjit*, hem kalsit ile birlikte oldukça yaygın olarak hem de granat kristallerinde kapanım kristal olarak bulunur. Kalsit kristallerine eşlik eden bir diğer mineral *volastonit*'tir. Uzama yönünde doğru sönme özelliği gösteren, grimsi girişim renklerine



Şekil 6. Zaman ve sıcaklığın bir fonksiyonu olarak skarn gelişimi safhaları (Brown ve diğ. 1985)

1. Kalsit, diopsit; 2. Kalsit, diopsit, volastonit, idokraz (vezüviyanit), grassular; 3. Andradit, diopsit-hedenberjít, epidot; 4. Kuvars, kalkopirit, düşük-Mo şelit; 5. Amfibol, kalsit, epidot, kuvars; 6. Zeolitler.

Figure 6. Stages of skarn development as a function of time and temperature (After Brown et al. 1985)

1. Calcite, diopside; 2. Calcite, diopside, wollastonite, idocrase, grassular; 3. Andradite, diopside-hedenbergite, epidote, high Mo scheelite; 5. Amphibole, calcite, epidote, quartz; 6. Zeolites.

sahip yelpaze şeklinde kristal demetleri şeklinde bulunur.

Epidot + diopsit skarn: Diyopsit, vezüviyan, kalsit, epidot, feldspat dan oluşan mineralojik bileşime sahiptir. Diyopsit, genellikle küçük yarı öz şekilli ve öz şekilli kristaller halinde yer yer de iri kristaller olarak bulunur. Kalsit tüm kristal aralarını doldurur. Feldspat, az miktarda, temiz kristal yüzeylerine sahip gri girişim renklerinde diğer kristallerin çevrelerinde yer alır.

Yüksek rölyefli, sarımsı renkli vezüviyan kristalleri, poikilitik görünüşlü iri kristaller olarak bulunur. Kristal çevresi opak mineraller ile çevrelenmiştir. Kapanti mineral olarak epidot ve piroksen yer alır.

Volastonit + diopsit + granat skarn : Granat, kalsit, diopsit, volastonit, feldspat ve kuvars minerallerinden oluşan mineralojik bileşime sahiptir. Granat, ana minerali oluşturur. İri klinopiroksenlere sarımsı renkli vezüviyan ve öz şeklär sız granat kristalleri eşlik eder.

Masif granat kristalleri arasında kalsit, damarlar şeklinde bulunur. Küçük kuvars kristallerinin yanı sıra volastonit, kristal demetleri şeklinde bu kalsit damarları içinde yer alır. Kuvars kristallerinin izlenmesi volastonit oluşumunu veren yüksek ısının olasılıkla uzun zaman sürmediğini gösterebildiği gibi akışkanlarda yeterli miktarda  $\text{CO}_2$  tüketimini de gösterebilir (Kerrick, 1974).

Yüksek rölyefli, canlı girişim renklerine sahip küçük epidot kristalleri, granat ve vezüviyan kristalleri ile birlikte bulunur.

Vezüviyan + granat: Granat, kalsit, hedenberjít ve vezüviyan minerallerinden oluşan mineralojik bileşime sahiptir.

Granat, oldukça büyük, zonlu kristalleri ile ana minerali oluşturur. Kalsit ile hedenberjít kristalleri kapanti olarak yer alır. Küçük granat kristalleri dokanagında yeşil renkli, yer yer kalsit kristallerinde belli bir dizilişim gösteren veya bazı kesimlerde dağınık bir şekilde yer alan hedenberjít kristalleri eşlik eder.

Granat kristalleri ile iç içe büyümeye gösteren vezüviyan yaygın izlenir. Kuvars, ince damarlar boyunca yer alır.

#### Kalkist

Keban metamorfik biriminin çalışma alanında en yaygın yüzeylenen üyesidir. Gri, beyaz renkli, ayrışma rengi sarı, sistozitesi belirgin, bol kıraklı ve çatlaklı kesimleri rekristalize ve daha masif görünümlüdür.

Mikroskopta; kalsit, kuvars, serisit, feldspat, granat ve opak minerallerden oluşan mineralojik bileşim ile granolepidoblastik ve lepidoblastik doku özellikleri gösterir. Ana mineral olarak yer alan *kalsit*, sistozite yönün-

de, şistoziteye paralel uzamış kristaller halinde veya granoblastik kristaller halinde bulunur. *Kuvars*, dalgalı sömme gösteren öz sekilsiz kristaller halinde az miktarda yer alır. *Feldspat* ise az miktarda relikt kristaller halinde bulunur. Karlsbad ikizlenme gösteren relikt feldspat kristalleri, yer yer rotasyonel yapı özelliği gösterirler. *Granat* çok küçük kristaller halinde kalsit kristallerinin çevresinde izotrop ve anizotrop kristaller halinde bulunur.

## TARTIŞMA

Kontak metamorfizma veya metasomatizma ile oluşmuş iri taneli Ca-Fe-Mg-Mn silikat mineralerini ifade eden skarn oluşumunu meydana getiren süreçler, başlıca karbonat kayaçlarının rekristalizasyonu, farklı kayaçlar arasındaki metasomatik reaksiyon, mağmatik kökenli çözeltilerin infiltrasyon metasomatizması şeklindedir. Bu tür silikatları gang minerali olarak içeren ve yukarıda belirtilmiş süreçlerin herhangi birisiyle veya bazları ile oluşabilen maden yatakları da skarn yatakları olarak tanımlanır (Einaudi ve dig., 1981).

Skarnlar, ölçeklerine göre reaksiyon skarnları ve ornatma (cevher) skarnları olarak iki gruba ayrılır. Ornatma skarnlar, ornattıkları kayaç tipine göre de sınıflandırılır. Eğer karbonat kayaçlarında yer alıyorsa "eksoskarn", intrüzif veya alüminyumlu kayaçların yerini almışsa "endoskarn" olarak tanımlanır. Eksoskarnlar, genellikle endoskarnlara nazaran daha genişler ve cevherin çoğunu taşırlar (Burt, 1974; 1977).

Özetle skarn oluşumu üç ana safha ile ilişkilendirilebilir.

1. Karbonatlı kayaçların rekristalizasyonu (izokimyasal metamorfizma - isochemical metamorphism)
2. Metasomatizma (metasomatik evre - metasomatic stage)
3. Retrograd hidrotermal alterasyon (retrograde stage)

Yukarıdaki skarn gelişiminin üç safhası, Kaliforniya'da Pine Creek'de W (şelit) skarn çalışmalarını referans olarak sıcaklık ve zamanın bir fonksiyonu olarak Şekil 6' da gösterilmiştir (Brown ve dig., 1985). Burada kalsit, dolomit, kuvars, K-feldspat ve organik materyal bileşimli karbonatlı ilksel kayaç; artan sıcaklık ile kalsit + diyopsit + K-feldspat + sfen + grafit birliğini verir (izokimyasal evre - isochemical stage). Kuvars-monzonit plütonunun soğumasını takiben  $H_2O$  zengin akışkanlar, plütonla karbonat kayaçların kontaklarında oluşmuş yapısal kırıklar boyunca hareket ettirilerek, uzaklaştırılmıştır. Bu akışkanlar, Ca ve  $CO_2$ 'i serbestleyen karbonat kayaçları ile reaksiyon gösterir. Bazıları plütona doğru geri dönerek endoskarn oluşumlarını meydana getirirler.

Karbonat kayaçlarında metasomatik akışkanların infiltrasyonu Fe'ce fakir silikatler ve Fe'ce zengin granat ve piroksenleri oluşturur (metasomatik evre). Bu şekilde fluorit + granat+ vezüviyan + volastonit + diyopsit + kalsit mineral bileşiminden meydana gelen açık yeşil renkli skarn zonu meydana gelir. Şelit taşıyan skarn, granat + piroksen + epidot içerir. Amfibol mineralerleri, epidot, kuvars ve zeolitler de retrograd safhayı karakterize ederler.

Keban skarn oluşumunda da yukarıda özetlenmiş olan skarn oluşumu ve Pine Creek örneğinin benzeri bir oluşum izlenmektedir. Çalışma alanında, Üst Kretase – Paleosen döneminde sokulum yapmış siyenit porfir kütlesi kalkışt bileşimli karbonatlı kayaçlarda  $700 - 500^{\circ}C$  sıcaklık aralığında kontak metamorfizma etkisiyle belli bir kontak zonu geliştirmiştir (Kineş 1969, Keban bölgesinde yapmış olduğu jeotermometrik çalışmalarla kontak metamorfik yataklar için maksimum sıcaklığı  $700^{\circ}C$  olarak tespit etmiştir). Sarılımağara granatlı siyenit porfir kontağında piroksen granat hornfels, skapolit hornfels gibi kontak metamorfik kayaçlar izlenir. Bu kayaçlarda izlenen başlıca mineraler, kalsit, granat, vezüviyan, diyopsit, hedenberjít epidot, skapolitdir. Bu mineral parajenezinde görülebildiği gibi Piroksen – Hornfels Fasiyesinde izlenmesi beklenen mineraler tespit edilememiştir. Buradaki kontak metamorfizma Hornblend – Hornfels Fasiyesinde gelişmiştir (izokimyasal metamorfizma).

Granatlı siyenit porfir / kalkışt dokanlığında metasomatik evrede,  $H_2O$  aktivitesinin etkisi altında diyopsit – hedenberjít ve grossular – andradit bileşimli silikat mineralerleri kalkışt içinde belli bir zonda gelişmişlerdir. Metasomatik zonlanma eğilimi granat skarn, klinopiroksen + piroksen granat, diyopsit skarn ve epidot + diyopsit skarn şeklinde izlenir. Ayrıca volastonit, vezüviyan ve ortama Cl ve F getirimi ile skapolit ve fluorit de bu parajenezlere eşlik eder.

Skarn mineralerleri, farklı sıcaklık, basınç ve uçucu madde fugasitelerinde duraylıdır. Uçucu fugasitesi ve sıcaklık genellikle fasiyelerin duraylılıklarında ters rol oynarlar. Örneğin sabit basınç altında volastonit, kalsit ve kuvarsdan daha yüksek sıcaklıkta duraylı kalabilen bir mineral olmasına karşın, eğer akışkanlarda yeterli miktarda  $CO_2$  tüketimi söz konusu ise volastonit oldukça düşük sıcaklıkta duraylı olabilir (Kerrick, 1974). Örneklerde yelpaze demetleri şeklinde bulunan volastonit kristallerini kuvars ve kalsit kristalleri ile birlikte aynı kesitte izleyebilmekteyiz. Buradan da akışkanlarda yeterli miktarda  $CO_2$  tüketiminden söz edebiliriz. Başka bir deyişle metasomatizma esnasında reaksiyonlar sonucu oluşan  $CO_2$  ortamdan uzaklaşınca  $H_2O$  önem kazana-

rák, mineraller düşük ısıda duraylı hale geçmiştir. Akışkanların bir kısmı da siyenit porfíre hareket etmiş ve kalsík fazlarının yer almasıyla epidot + klinopiroksen endoskarn oluşumuna neden olmuştur. Bu evre Keban skarn oluşumunda metasomatik safhayı verir.

Skarn türleri içerdikleri granat, hedenberjít gibi minerallerin katkıları ile koyu kahve rengi ile yeşilimsi renkler arasında bir renge sahiptirler.

Bimetasomatik gelişimi en güzel şekilde zonlu granat kristallerinde çekirdek kesimden kenar kısma doğru izleyebildiğimiz renk değişimi ile anlamaktayız. Si, Al ve Fe<sup>3+</sup> katyon göçü renk değişiminin kökünde yatkınlıkta.

Sarılimağara granat siyenit porfíri kontağında gelişmemiş olmakla beraber bölgede, Keban derenin kuzyeyinde ve güneyinde manyetit, kalkopirit, pirit, sfalerit, eşliğinde Skarn oluşumlu Au, Cu, Mo, W cevherleşmesi gelişmiştir.

## SONUÇLAR

Keban bölgesinde, Üst Kretase – Paleosen döneminde (Kipman, 1976 ; Yazgan, 1983) sokulum yapmış siyenit porfir intrüzyonları, karbonatlı bölge kayaçlarında 700-500 °C sıcaklık aralığında kontak metamorfizmaya sebebiyet vererek farklı yayılım ve genişliğe sahip bir kontak zon geliştirmiştir. Bu zon kontağın bazı kesimlerinde kontak metamorfik mineral içeriğine göre farklı olarak isimlendirilen ve hornblend - hornfels fasisinde metabolize olmuş kalkfels kayaçlar veya daha saf kireçtaşı özelliği gösteren yerlerde sakkroid dokulu rekristalize kireçtaşı ile temsil edilir. Aynı zamanda Keban magmatik biriminin karbonatlı çevre kayacıyla dokanağında Si, Al, Fe, Mg gibi elementlerin getirime bağılı olarak metasomatik olarak gelişen mineralojik değişimlerle de skarn oluşmuştur.

Keban skarn oluşumu, Sarılımağara tepe eteklerinde sokulum yapmış granat siyenit porfíri biriminin kontağında izlendiği gibi endoskarn ve eksoskarn oluşumları ile bimetasomatik karakterde, ornatma skarn şeklindedir. Madde göçü, akıcı akışkanlar tarafından gerçekleşerek infiltrasyon metasomatizması sonucu oluşmuştur.

Endoskarn oluşumu epidot + klinopiroksen skarn şeklinde gelişken eksoskarn oluşumları da granat skarn, klinopiroksen + vezüviyan + granat skarn, Epidot + diyopsit skarn, volastonit + diyopsit + granat skarn ve vezüviyan + granat skarn şekillerinde tespit edilmiştir.

## KATKI BELİRTME

Çalışma sırasında kayaç örneklerinin bir kısmına ait majör ve iz element analizleri İ. Ü. Jeoloji Mühendisliği Bölümü, Jeokimya Laboratuvarında gerçekleştirilmişdir. Jeokimyasal analizlerin yapılmasıındaki katkılarından dolayı Kimya Mühendisi Sayın Nurten Akbulut'a ve Ecole des Mines De Paris – Fransa'da gerçekleştirilmiş elektron prob analizlerin yapılmasıındaki katkılarından dolayı Sayın Michel Demange'a teşekkürü bir borç biliyoruz.

## SUMMARY

Keban region, NW Elazığ province, East of Taurides, contains the polymetallic Keban argeniferous Pb – Zn, Mo – W mine and some fluorite deposits used among which some of them have already been operated. The stratigraphic units of the region are mainly composed of the Keban metamorphics (Permo – Carboniferous) and the Keban magmatics which cut the metamorphic basement. The Sarılımağara limestone is the youngest unit the mapped area that unconformably overlies all the units older than Tertiary.

During Upper Cretaceous – Paleocen time, alkaline syenitic rocks emplaced at shallow depth, and intruded the metamorphic basement in form of dykes and sills clearly seen in the field. The Keban magmatic rocks typically show a porphyritic texture with phenocrysts of alkali feldspar and white plagioclase, dark colour mafic minerals set in a grey groundmass in the field.

The emplacement and cooling of the Keban magmatic unit is accompanied firstly by contact metamorphism and later by metasomatism in the wall rock. Therefore, a skarn zone is well developed between the metamorphic unit and the Keban magmatic rocks. The skarn consists mainly of the formation of exoskarn and endoskarn and consequently shows a bimetasomatic evolution. The main skarn minerals are clinopyroxene, garnet, and vesuvianite, wollastonite, calcite and epidote.

The Sarılımağara garnet syenite porphyry is one of the Keban magmatic rocks outcrop on the northern bank of the Euphrates River. A well – developed skarn zone, which is named as the Sarılımağara skarn formation, also occurs between the calcshist and the Sarılımağara garnet syenite porphyry.

Contact metamorphism and metasomatism in the wall rocks accompany the emplacement and cooling of the plutonic mass. Thus, the formation of skarns involves stages of isochemical metamorphism and metaso-

matism. Towards the final phases of cooling a retrograde stage occurs, during which the early skarn assemblages are destroyed and replaced by hydrous minerals. In summary, the formation of skarns can be related to three main stages: 1. Isochemical metamorphism, 2. Metasomatism, and 3. Retrograde hydrothermal alteration.

During Upper Cretaceous – Paleocene time the Keban magmatic rocks intruded the Keban metamorphic unit. Firstly, the intrusion of the Keban magmatic rocks result in contact metamorphism of the carbonate wall rocks – isochemical stage. Following the cooling of these alkaline syenitic intrusions,  $H_2O$  – rich fluids were expelled out and moved up along the structural break provided by the contact of the carbonate rocks with intrusions. These fluids reacted with carbonates to release Ca and  $CO_2$ , some of which diffused back towards the Keban magmatic unit forming an endoskarn. Infiltration of the metasomatising fluids into carbonates formed Fe – poor silicates and Fe – rich garnet and pyroxene – metasomatic stage.

Wollastonite is stable at higher temperatures than calcite plus quartz, but it can form at quite low temperatures if the fluids are sufficiently depleted in  $CO_2$ . Quartz and wollastonite are observed in the same thin sections, which may suggest that skarn – forming fluids, are depleted in  $CO_2$  in the Keban skarn formation.

Scheelite mineralization occurs as skarn formation continues in the region. Scheelite mineralization is associated with Au, Mo, Cu and calcopyrite, pyrite, sphalerite.

## DEĞİNİLEN BELGELER

- Altınlı İ. E., 1963,** 1N 5000 Ölçekli Türkiye Jeoloji Haritası Erzurum Paftası İzahatnamesi M. T. A Enstitüsü Yayıńı – Ankara.
- Asutay H. J., 1988,** Baskıl (Elazığ) çevresinin jeolojisi ve Baskıl mağmatiklerinin Petrolojisi MTA dergisi sayı 107, Ankara.
- Bingöl E., 1989,** 1/ 2.000.000 ölçekli Türkiye Jeoloji Haritası. M. T. A Yayıńı, Ankara.
- Brown E. P. & Bowman J. R. & Kelly W.C., 1985,** Petrologic and Stable Isotop Constraints on the Source and Evolution of Skarn-Forming Fluids at Pine Creek, California. Economic Geology Vol. 80, pp. 72-95.
- Burt M. D., 1974,** Metasomatic Zoning in Ca - Fe -Si Exoskarns. Carnegie Inst. Washington Publ. 634, p. 287-293.
- Burt M. D., 1977,** Mineralogy and Petrology of Skarn Deposits. Rendiconti Societa Italiana di Mineralogiae Petrologia, 33 (2), 859 – 873.
- Çalık A., 1986,** Keban İlçesi - Elazığ Karamağara Dere Kuzeybatisının Jeolojik,Petrografik Etüdü ve Fluorit Cevherleşmesi. İ. Ü. Fen Bilimleri Enstitüsü –Yüksek Lisans Tezi (Yayınlanmamış) 1986.
- Çalık A., 1998,** Keban plütonitleri: Mineraloji, Petrojevez ve yan kayaç ilişkisi.Doktora tezi İ. Ü. Fen Bilimleri Enstitüsü.
- Celebi H., 1997,** Keban (Elazığ) simli kurşun yatağı Ba-tı Fırat sahası gümüşlü Mn cevherleşmesinin jeokimyası. Türkiye Jeoloji Bülteni,C. 40,sayı 1, 19, 36.
- Deer W. A., Howie R. A., Zussman J. 1992,** The Rock Forming Mineral. Longman Scientific & Technical New York, p. 45 – 200.
- Dirim M. S., 1991,** Keban, Zeytin dağ -Hazine Mağara Asıl Metal Cevherleşmelerinin Kökeni ve Ekonomik Jeolojik Değerlendirilmesi. İ. Ü. Fen Bilimleri Enstitüsü Doktora Tezi.
- Einaudi M. T., Meinert D., Newberry J., 1981,** Skarn Deposits. Economic Geology 75 Th. Anniversary volume, 1981 p. 317 – 391.
- Fischbach W., 1877,** Keban madeni hakkında rapor. MTA Ens. Derleme no.384 Ankara.
- Gawlik J., 1958,** Keban - Elazığ Prospeksiyon raporu (yayınlanmamış). M. T. A Raporu 3096 - Ankara.
- Hanelçi Ş. & Taşçı İ. & Söylemez M., 1989,** Keban Güneyi (Keban -Elazığ) skarn zonu cevherleşmesinin ön etid raporu. (Yayınlanmamış) Etibank Arşivi.
- Hanelçi Ş., 1991,** Zeryan dere -Siftil Tepe (Keban - Elazığ) Metalojenezinin incelenmesi. İ.Ü. Fen Bilimleri Enstitüsü - Doktora Tezi.
- Kerrick D. M., 1974,** Review of metamorphic mixed volatile ( $H_2O$  –  $CO_2$ ) equilibria. Am. Mineral v. 59, p. 729 – 762.
- Kerrick D. M., 1977,** The genesis of zoned skarns in the Sierra Nevada, California. Journal of Petrology., vol. 18, part 1, p.144 -181.
- Ketin, İ. ,1966,** Anadolu' nun Tektonik Birlikleri MTA Enstitüsü Dergisi s.66 Ankara.
- Kineş, T., 1969,** The geology and ore mineralization of the Keban of the Keban area, East Turkey. Ph.D. Thesis - Durnham University.
- Kipman, E. ,1976 a,** Keban volkanitlerinin petrolojisi İ. Ü. Yerbilimleri Dergisi 1,1 s.2 03 –230.

- Kipman E., 1976 b,** Keban'ın Jeolojisi ve Keban şarığı İ. Ü. Yerbilimleri Dergisi 1, 1 s.75 - 81 İstanbul.
- Köksoy, M., 1972,** Keban Madeni civarında cevherleşme ile ilgili elementlerin dağılımı .M. T. A – Ankara.
- Kumbasar, I., 1964,** Keban Bölgesindeki cevherleşmelerin petrografik ve metalojenik etüdü. İstanbul Teknik Üniversitesi Maden Fakültesi - Doktora Tezi.
- Maucher, A., 1937,** Keban maden zuhuratu hakkında mineralojik rapor. MTA Derleme no. 406 Ankara.
- Olsner, 1938,** Keban madeni hakkında rapor. Etibank Maden Arama Mües. Kütüphanesi Ankara.
- Pilz, R.& Ceccatty, R., 1936,** Keban iptidai istikşaf raporları MTA Derleme no. 178, Ankara.
- Tolun, N. 1950,** Keban Bölgesi jeolojisine ait (V. Kovenko'nun Raporuna) Dair Notlar. Etibank Arşivi – Ankara.
- Yazıcı, B., 1986,** Keban İlçesi Karamağara dere güney batosının (Elazığ) jeolojik Petrografik etüdü ve kontak metasomatik cevherleşmesi. İ. Ü. Fen Bilimleri Enstitüsü Maden yatakları ve Jeokimya Anabilim Dalı Yüksek Lisans Tezi (yayınlanmamış).
- Yazgan, E., 1983,** Geodynamic evolution of the Eastern Taurus region. International symposium on the geology of the Taurus belt. 1983, Ankara p. 199 – 208.
- Zizerman, A., 1969,** Geological and Mining Study of Keban Maden. Etibank Genel Müdürlüğü - Ankara 69 RME 014.

Makalenin geliş tarihi : 22.12.1998  
 Makalenin yayına kabul tarihi : 11.10.1999  
*Received* : December 22, 1998  
*Accepted* : October 11, 1999